

ЛЕНИНГРАДСКИЙ ОРДЕНА ЛЕНИНА ПОЛИТЕХНИЧЕСКИЙ ИНСТИТУТ
имени М.И.Калинина

Методы оценки влияния изъятия стока на гидрометеорологический
режим северных районов (сборник)

л 4489-82 Дел.

УДК 556.535.6(282.251.2)

Г.М.Заец, В.А.Милошевич, А.Е.Михинов,
А.Ю.Сидорчук

РАСПРЕДЕЛЕНИЕ СТОКА ВОДЫ И ВЗВЕШЕННЫХ НАНОСОВ
В ДЕЛЬТЕ р.ЕНИСЕЙ

Распределение стока воды и наносов по водотокам дельты является основой для оценки динамики и направленности процессов в ее русловой сети. Для дельты р.Енисей данные такого рода имеют кроме всего прочего и несомненное практическое значение в связи с намечаемыми на ближайшее время мероприятиями по улучшению условий судоходства на лимитирующих участках. Такие мероприятия не могут быть проведены с успехом без учета возможных изменений в распределении стока воды и наносов в дельтовых рукавах. Эти соображения привели к необходимости натурных исследований за водным режимом основных рукавов дельты, которые и были выполнены Русской экспедицией МГУ в 1976-1978 гг. Данные этих исследований, полученные для дельты р.Енисей с момента ее изучения впервые, послужили основой для настоящей статьи.

Дельтой р.Енисей принято считать участок низовьев реки ниже селения Усть-Порт от оголовка Казанских островов. Ее вод-

ный режим определяется как сезонными изменениями речного стока, который обусловлен природными условиями в бассейне реки, так и колебаниями уровня моря. В речном стоке Енисея выделяется много-водное половодье и устойчивая летне-осенняя межень. Половодье обычно охватывает период июня и первой декады июля. Средние максимальные расходы воды для этого периода составляют $110000 \text{ м}^3/\text{с}$. Во время летне-осенней межени расходы воды в вершине дельты уменьшаются до $10000 \text{ м}^3/\text{с}$. Влияние колебаний уровня моря на водный режим дельты выражается в виде изменения величины и перераспределения расходов воды под действием приливных и нагонных волн. Заметное искажение этими явлениями стоковых характеристик в дельте наблюдается при расходах воды в ее вершине менее $60000 \text{ м}^3/\text{с}$. В этих условиях, во всех рукавах дельты расход воды испытывает суточный ход под действием приливов и отливов и происходит заметное уменьшение стока воды в течение нескольких суток при прохождении нагонной волны.

Непосредственно в вершине дельты находится первый узел разветвления, где р.Енисей разделяется на два рукава примерно равновесные по водности. В левый, судоходный рукав поступает 45 %, а в правый 55 % от общего расхода воды в вершине дельты. В этом месте расположен первый в дельте лимитирующий судоходство участок - Безымянный перекат. Здесь же производился учет стока воды и взвешенных наносов, поступающих в дельту за период половодья. Сравнение измеренных в этом створе расходов воды с расходами в Игарке дало удовлетворительную сходимость. В межень, когда расход воды в вершине дельты изменяется под влиянием колебаний уровня моря, сток воды оценивался по гидроствору Игарка.

Наблюдения за стоком в вершине дельты и месте разделения Енисея на основные рукава показало, что потери стока на этом участке в левобережные протоки составляет 5 %, т.е. в основные рукава - Малый, Большой, Каменный Енисей и протоку Охотскую поступает 95 % стока в вершине дельты. Такие же данные получены в результате расчета (I').

Большая часть стока воды, поступающего к узлу разветвления, концентрируется в двух рукавах Большого Енисея (рис.I). Рукава эти разделены цепочкой островов, не затапляемых при самых высоких уровнях. В диапазоне расхода воды в вершине дельты 70000-

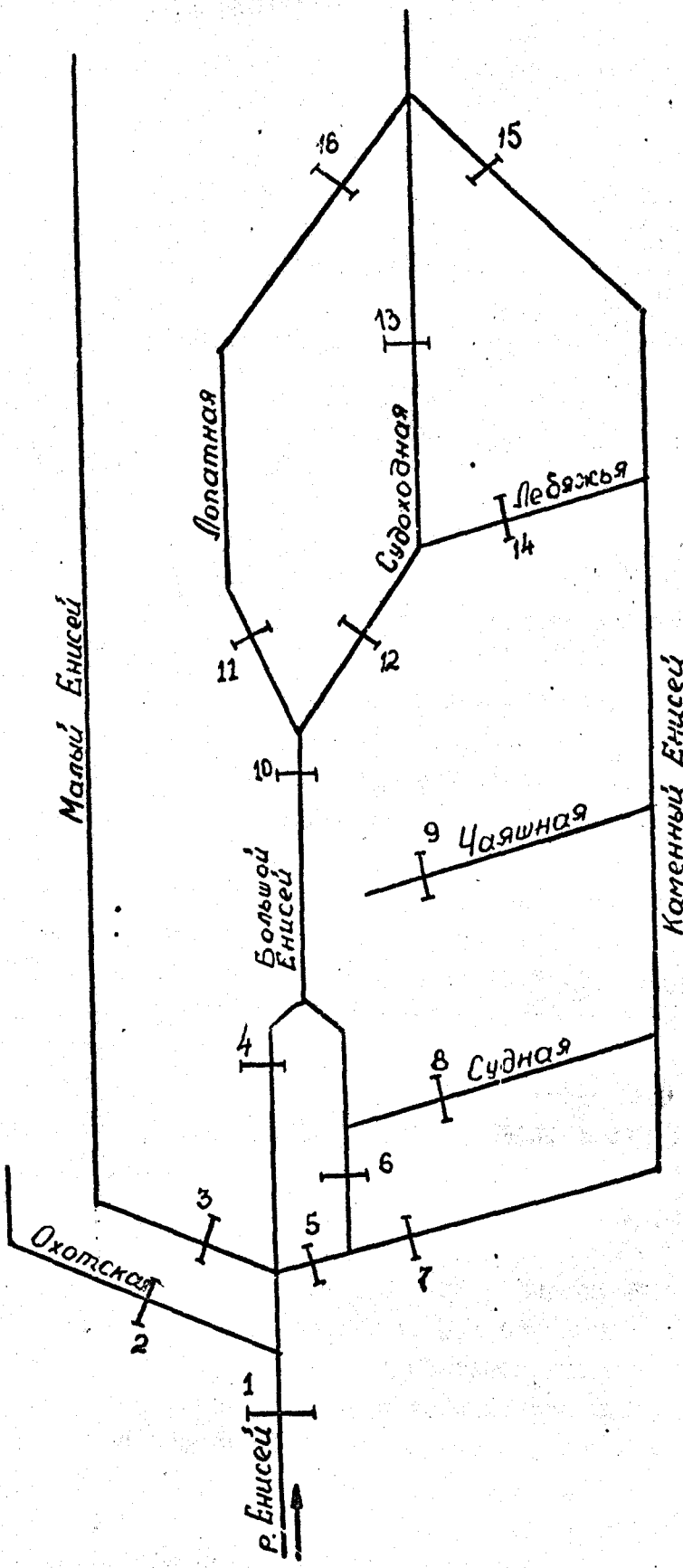


Рис. I. Схема участка дельты р. Енисей. 1, 2, 3, ... — номера гидростворов.

30000 м³/с более 70 % от общего расхода в узле распределяется поровну между этими рукавами (створы 4, 5) и составляет 25000–10000 м³/с (таблица I). Немногим более 20 % общего расхода поступает в Малый Енисей (створ 3) и совсем незначительная часть, порядка 3 %, в протоку Охотскую (створ 2).

По мере снижения горизонта воды и общего расхода в узле разветвления происходит его перераспределение по рукавам, которое зависит от морфометрических характеристик русла и его шероховатости, а также от положения рукава относительно динамической оси основного потока. В левом рукаве Большого Енисея наблюдается снижение доли от общего расхода во всем рассматриваемом диапазоне расходов – с 36.1 % до 27.4 %. В правом рукаве Большого Енисея также наблюдается снижение доли расхода – с 37.3 % до 35.8 %, но до некоторого значения расхода в вершине дельты – 40000 м³/с. Противоположное этому явление происходит в истоке Малого Енисея. Здесь доля общего расхода увеличивается с 23.5 % до 25.4 %, но так же до некоторого значения расхода воды в вершине дельты – 30000 м³/с (таблица I). Такой ход явления подтверждает часто наблюдаемый факт, когда по мере снижения волны половодья уменьшается доля общего расхода в основных рукахах и возрастает доля расхода в боковые рукава.

При снижении расхода воды в вершине дельты до 40000–30000 м³/с речной поток переходит к меженному режиму. В месте истока правого рукава Большого Енисея на положение динамической оси потока начинают оказывать большое влияние обширные мели у оголовка острова Судный, искривляя ее в сторону цепочки островов. Это приводит к тому, что доля общего расхода воды в этом рукаве растет с 35.8 % до 54.1 %, а расходы воды в нем даже превышают расходы в правом рукаве. В Малом Енисее, где меженное русло имеет более пологую траекторию, доля от общего расхода падает с 25.4 % до 16.8 % (таблица I).

В истоке правого рукава Большого Енисея от него отделяется рукав – Каменный Енисей (рис. I). Оба эти рукава при высоких уровнях воды имеют примерно равные морфометрические показатели. Это приводит к тому, что и расходы воды в этих рукавах отличаются незначительно (таблица 2). Такое положение меняется при снижении расхода воды в вершине дельты ниже 40000 м³/с. Пропускная способность русла Каменного Енисея (створ 7) в этих условиях значительно снижается из-за наличия в его истоке перекатного участка.

В результате доля стока, поступающего в него, падает с 42,5 % до 35,0 %. На такую же долю растет расход воды в правом рукаве Большого Енисея (створ 6).

Ниже по течению от правого рукава Большого Енисея отделяются две правобережные протоки: Судная и Чаяшная (рис. I). Для протоки Судной характерны малые глубины, скорости течения и, что важно для поступления в нее стока воды, - блокированное отмелями устье. Поэтому доля поступающего в нее расхода неуклонно падает от половодья к межени, так что расход воды в ней снижается до $540 \text{ м}^3/\text{с}$ (таблица 2, створ 8). Протока Чаяшная является более активной. Средние глубины и скорости течения в ней больше чем в Судной почти вдвое. Ввиду большого угла отвода от основного потока доля от общего расхода в ней при снижении половодья растет с 23,4 % до 31,6 % (створ 9). Однако по мере перехода к межени происходит снижение поступающей в нее доли расхода в связи с падением пропускной способности русла, которая обусловлена стеснением устья отложениями наносов. В этот период расходы воды в ней снижаются от $4300 \text{ м}^3/\text{с}$ до $1300 \text{ м}^3/\text{с}$ (таблица 2). После отбора протоками значительной части стока (30-40%) правый рукав Большого Енисея сливается с левым рукавом и течет единственным руслом до следующего узла разветвления у острова Лопатный, где рукав Большой Енисея разделяется на две протоки: Лопатную и Судоходную, в которой расположен второй лимитирующий судоходство участок - Турушинский перекат (рис. I). Обе протоки отделяются от Большого Енисея под одинаковым углом, но различие в морфометрии их истоков приводит к неравному распределению расходов воды в них.

В Судоходную протоку поступает от 58,3 % до 70,4 % стока Большого Енисея (створ I2), в протоку Лопатную от 41,7 % до 29,6 % (таблица 3, створ II). Перераспределение стока от половодья к межени в пользу Судоходной протоки обусловлено большей шириной и глубинами на ее входе, в то время как вход в протоку Лопатную, особенно в межень, блокирован обширной косой у оголовка острова Лопатный.

От судоходной протоки, перед гребнем Турушинского переката, почти под прямым углом отделяется протока Лебяжья (рис. I). При снижении расхода воды в вершине дельты от $70000 \text{ м}^3/\text{с}$ до $30000 \text{ м}^3/\text{с}$ доля расхода от общего в Большом Енисее в протоку Лебяжью,

как боковую по отношению к основному руслу, растет с 24,3 % до 34,7 %. В межень, наоборот, в прямую судоходную протоку поступает большая доля расхода (таблица 3). Ниже Турушинского переката Енисей сливается в одно русло и течет широким и многоводным потоком за пределы наземной дельты в Енисейский залив.

Рассмотренные закономерности распределения стока по рукавам были получены для условий, когда расход воды в реке определяется режимом в вершине устьевой области. При переходе к межени этот режим нарушается в связи с распространением по рукавам дельты стоянно-нагонных и приливо-отливных волн. Стоянно-нагонные волны имеют длину несколько сот километров и ввиду большой скорости распространения не вызывают существенного изменения уклона водной поверхности, а следовательно, и расхода воды в дельте, за исключением нагонов редкой повторяемости.

Приливо-отливная волна в дельте Енисея имеет полусуточный период, ее длина порядка 100 км, а амплитуда в среднем составляет 30 см. Распространяясь по дельтовым рукавам, она существенно изменяет кривую свободной поверхности так, что при максимуме прилива в районе слияния Большого и Каменного Енисея в одно русло на участке от истока основных рукавов до устья формируется кривая подпора, а выше по реке - кривая спада.

Влияние приливной волны на перераспределение расходов воды в дельте исследовалось при меженном расходе воды, поступающем в дельту - $17000 \text{ м}^3/\text{с}$. Для этого на ряде створов (таблица 4) проводился суточный цикл измерения расходов воды. Полученные данные свидетельствуют о том, что при приливе в устье рукавов разница между саммарным расходом в истоке и устье Большого и Каменного Енисея за 6 часов составляет $15000 \text{ м}^3/\text{с}$. Эта масса аккумулируется на рассматриваемом участке, чтобы в следующие 6 часов (отлив) поступить за его пределы. Промежуточные гидростворы от истоков до устья рукавов находятся при этом в различных фазах режима. Мгновенная картина такого распределения расходов воды по ряду створов приведена в таблице 4.

Сток взвешенных наносов, поступающих в дельту, оценивался по измерениям в районе Безымянного переката. При изменении расходов воды в вершине дельты от $70000 \text{ м}^3/\text{с}$ до $10000 \text{ м}^3/\text{с}$ сток взвешенных наносов колеблется от $1800 \text{ кг}/\text{с}$ до $77 \text{ кг}/\text{с}$. На участ-

тке от вершины дельты до разделения Енисея на основные рукава в дельте аккумулируется от 9,3 % в половодье до 60 % в межень поступающих взвешенных наносов.

В исток левого рукава Большого Енисея при расходах воды в вершине дельты $70000 \text{ м}^3/\text{с}$ - $40000 \text{ м}^3/\text{с}$ поступает расход взвешенных наносов почти в два раза больший, чем в правый (при равенстве расходов воды), соответственно 800 - $220 \text{ кг}/\text{с}$ и 361 - $148 \text{ кг}/\text{с}$ (таблица I). Это объясняется перекосом водной поверхности в сторону истоков рукава, средний продольный уклон которого наибольший [2]. Именно таким и является левый рукав. Довольно значительное количество взвешенных наносов за этот период поступает в исток Малого Енисея - от $434 \text{ кг}/\text{с}$ до $140 \text{ кг}/\text{с}$ (таблица I). Этот рукав, круто отклоняющийся от основного русла, выполняет роль "наносоотсасывающего". Таким образом, в половодье поступление наносов в рукава не пропорционально расходам воды. С наступлением меженного периода величины расходов взвешенных наносов в рукавах следуют за расходами воды, а их доля от общего стока наносов определяется перераспределением стока воды. После отделения от правого рукава Большого Енисея рукава Каменный Енисей, расход взвешенных наносов распределяется по ним следующим образом. В половодье в левый рукав поступает от $206 \text{ кг}/\text{с}$ до $98 \text{ кг}/\text{с}$, а в Каменный Енисей от $155 \text{ кг}/\text{с}$ до $50 \text{ кг}/\text{с}$ взвешенных наносов. Во время межени расход взвешенных наносов в обоих рукавах одинаков. Правобережные протоки Судная и Чаянная при больших расходах воды в вершине дельты ($70000 \text{ м}^3/\text{с}$ - $60000 \text{ м}^3/\text{с}$) забирают из правого рукава Большого Енисея от 60 % до 35 % стока его наносов, значительная часть которых идет на формирование кос в их устьях (таблица 2).

В узле Турушинского переката расход взвешенных наносов распределяется поровну между Судоходной и Лопатной протоками, хотя расходы воды в последней значительно ниже. Это объясняется большим углом отвода протоки Лопатной от основного русла. Поступающие на Турушинский перекат наносы частично осаждаются на его акватории - от 46 % при расходах воды в вершине дельты $70000 \text{ м}^3/\text{с}$ до 10 % в межень. Через протоку Лебяжью в Каменный Енисей при тех же расходах воды в вершине дельты выносится от 19 % до 50 % взвешенных наносов.

Соответственно изменению расхода воды в дельте под действием приливной волны, происходит перераспределение взвешенных наносов. Данные такого рода приведены в таблице 4.

При рассмотрении баланса наносов в дельтовых рукавах может возникнуть вопрос о роли приливо-отливных колебаний уровня в выносе или аккумуляции наносов на различных участках дельты. Такие исследования были проведены для условий меженного режима при расходе воды в вершине дельты $17000 \text{ м}^3/\text{с}$.

При распространении приливной волны в устье происходит увеличение ее асимметрии за счет различных скоростей движения гребня и подошвы, в результате чего время падения уровня преобладает по отношению к росту. При периоде прилива - отлива 12 ч 25 м время роста составляет 5 ч 45 м, а падения 6 ч 40 м. За счёт этого должна существовать разница между стоком наносов за приливной цикл. Кроме того, баланс наносов за приливной цикл должен зависеть от хода мутности во времени, так как экстремумы мутности опережают экстремумы уровня. Построенная связь

$$\frac{\rho_{\Phi}}{\rho_{cr}} = f\left(\frac{\Delta h}{A}\right), \quad \text{где } \rho_{\Phi} - \text{фактически наблюдаемая мутность, } \rho_{cr} - \text{мутность при стоковом режиме, } \Delta h - \text{величина прилива-отлива над стоковым уровнем, } A - \text{амплитуда прилива, показала, что ее характер отвечает общепринятой при анализе кинематики прямой и обратной волн в устье, т.е. имеет вид восьмерки. Опережение экстремумов мутности по отношению экстремумов уровня составляет 40 минут. Полученная связь была использована для расчета фактических мутностей за приливной цикл. В результате были получены эпюры расходов взвешенных наносов за период прилива-отлива. Результаты расчетов показали, что дополнительный вынос взвешенных наносов за приливной цикл составляют: створ 3 - 30 тонн, створ 4 - 125 тонн, створ 7 - 74 тонны, створ 8 - 2 тонны, створ 9 - 9 тонн, створ 22 - 43 тонны, створ 12 - 203 тонны, створ 15 - 376 тонн, створ 16 - 43 тонны.}$$

Данные, приведенные в таблицах I, 2,3 с достаточной полнотой освещают распределение стока по основным водотокам дельты до расхода в ее вершине $70000 \text{ м}^3/\text{с}$. Проведение подобных исследований при более высоких расходах встречает большие трудности. Этот пробел может быть восполнен путем расчета, либо моделирования. Кроме того, такие расчеты позволили бы получить харак-

Таблица I

Распределение расходов воды и взвешенных наносов
по основным дельтовым рукавам

Створ № 1			Створ № 2			Створ № 3					
Расход воды м ³ /с	Расход взвешенных наносов м ³ /с	R кг/с	Q м ³ /с	%	R кг/с	Q м ³ /с	%	R кг/с	Q м ³ /с	%	
66500	I643	2020	3.0	48	2.9	I5660	23.5	434	26.4		
57000	II40	1000	3.3	41	3.6	I3600	23.8	270	23.7		
47500	860	I600	3.4	27	3.2	II600	24.4	228	26.5		
38000	523	I300	3.4	15	2.9	9400	24.7	I40	26.8		
28500	246	I000	3.5	I3	5.3	7100	25.4	88	35.8		
I9000	III	700	3.7	6	5.4	4500	23.7	22	I9.8		
9500	55	380	4.0	I	I.8	I600	I6.8	6	I0.9		
Створ № 4						Створ № 5					
24000	36.I	800	43.7	24820	37.3	36I	22.0				
20300	35.6	590	51.8	21010	36.8	239	20.9				
I7000	35.8	410	47.7	I7300	36.4	I95	22.6				
I3600	35.3	220	42.I	I3640	35.8	I48	28.2				
I0000	35.I	44	I7.9	I0640	37.3	I0I	41.0				
6300	33.2	35	31.5	7740	40.7	48	43.3				
2600	27.4	25	45.5	5I40	54.I	23	4I.8				

Таблица 2

Распределение расходов воды и взвешенных наносов по правобережным рукавам

Створ № 5			Створ № 6			Створ № 7				
Расход воды	Расход взвешенных наносов		Q	%	R	Q	%	R	Q	%
m^3/c	m^3/c		m^3/c		kg/c	m^3/c		kg/c	m^3/c	
24820	361	I4220	57.2	206	57.0	I0600	42.8	I55	43.0	
21010	239	II960	57.0	I65	69.0	9050	43.0	74	31.0	
I7300	I95	9900	57.1	I32	57.7	7400	42.9	63	32.3	
I3640	I48	7840	57.5	I98	56.2	5800	42.5	50	33.8	
I0640	I01	6340	59.6	66	55.3	4300	40.4	35	34.7	
7740	48	4840	62.5	24	50.0	2900	37.5	24	50.0	
5I40	23	3340	65.0	I0	43.4	I800	35.0	I3	56.6	
Створ № 8			Створ № 9							
3420	I3.8	3I	8.6	5800	23.4	94	26.1			
2860	I3.6	I3	5.4	5500	26.2	43	I8.0			
2300	I3.3	I9	4.6	5000	28.9	I5	I7.7			
I740	I2.8	7	4.7	4300	31.6	I0	6.8			
I340	I2.6	5	5.0	3300	31.2	I9	8.9			
I940	I2.1	4	8.4	2300	29.8	8	I6.7			
540	I0.5	2	8.6	I300	25.4	2	I8.7			

Таблица 3

Распределение расходов воды и взвешенных наносов
по рукавам в узле Турушинского переката

Створ № I0			Створ № II			Створ № I2		
Расход воды Q м ³ /с	Расход взве- шенно- ых нано- сов R кг/с		Q м ³ /с	R кг/с		Q м ³ /с	R кг/с	
29000	910	I2I00	41.7	510	56.0	I6900	58.3	400
23650	554	8650	36.5	230	52.5	I5000	63.5	264
I9I50	326	6650	34.8	I84	56.5	I2500	65.2	I42
I5400	I95	5100	33.0	I04	53.4	I0300	67.0	I91
II800	I0I	3750	31.8	45	44.5	8050	68.2	56
8250	63	2500	30.4	34	54.0	5750	69.6	29
4210	20	I250	29.6	I0	50.0	2960	70.4	I0
<hr/>								
Створ № I3			Створ № I4					
9700	33.5	I40	I5.4	7200	24.8	76	8.3	
8100	34.3	96	I7.4	6900	29.2	66	II.9	
6500	34.0	64	I9.6	6000	31.2	55	I6.9	
5100	32.2	40	20.5	5200	33.8	43	22.0	
3950	33.5	22	21.8	4100	34.7	27	26.7	
3050	37.0	II	I7.4	2700	32.6	I5	23.8	
I750	41.6	5	25.0	I210	28.8	6	30.0	

Таблица 4

Мгновенное распределение расходов воды в взвешенных наносах в дельте р. Енисей при расходе воды в вершине дельты 17000 м³/с и
Прилив у пос. Байкалово с амплитудой 0,3 м

Состав воды и наносов	Номера гидростворов									
	2	3	4	7	8	9	12	13	15	16
Сток	Q м ³ /с	600	3630	5200	2570	820	2000	4910	2790	7420
	R кг/с	4	17	32	21	3	6	23	9	45
Прилив	Q м ³ /с	1085	5490	7500	3485	750	1300	2450	1140	3530
	R кг/с	8	37	78	46	5	6	35	18	140
Отлив	Q м ³ /с	280	2195	4685	1610	470	1490	4375	4160	12540
	R кг/с	1	3	6	4	1	1	3	3	12

теристики многочисленных второстепенных водотоков обширной дельты. Енисея. Поэтому, представляет интерес сравнение натурных данных с данными аэродинамического моделирования [1]. Расходы воды, полученные в результате моделирования, в среднем отличаются от фактически измеренных на 20 %. Особенно большие ошибки (до 70 %) получены для проток Судной и Чаяшной, что можно объяснить отсутствием до настоящего времени данных о глубинах в протоках. Но даже ошибки в 20 % находятся за теми пределами, когда можно проследить перераспределение стока между рукавами. Возможно, что более точный учет рельефа рукавов, который имеет грядовой характер, а также гидравлических сопротивлений даст более удовлетворительные результаты.

Л и т е р а т у р а

1. Иванов В.В., Гиляров Н.П. Экспериментальные исследования перераспределения стока в дельте Енисея. Труды ААНИИ, т.297 с.103-115.
2. Маккавеев Н.И. Русло реки и эрозии в ее бассейне. М., 1955, с.313.